

Тиристор низкочастотный T471-250-18



| | | | | | | | | | | | | | | | | | |
|--|-----------|-----|-----|-----|-----|-----------|-----|---------------------------------------|-----|------|------|------|------|------|------|------|------|
| Средний прямой ток | | | | | | I_{TAV} | | 250 А | | | | | | | | | |
| Повторяющееся импульсное напряжение в закрытом состоянии | | | | | | U_{DRM} | | 100 - 1800 В | | | | | | | | | |
| Повторяющееся импульсное обратное напряжение | | | | | | U_{RRM} | | | | | | | | | | | |
| Время выключения | | | | | | t_q | | 125, 160, 200, 250, 320, 400, 500 мкс | | | | | | | | | |
| $U_{DRM}, U_{RRM}, В$ | 100 | 200 | 300 | 400 | 500 | 600 | 700 | 800 | 900 | 1000 | 1100 | 1200 | 1300 | 1400 | 1500 | 1600 | 1800 |
| Класс по напряжению | 1 | 2 | 3 | 4 | 5 | 6 | 7 | 8 | 9 | 10 | 11 | 12 | 13 | 14 | 15 | 16 | 18 |
| $T_j, °C$ | -60 ÷ 125 | | | | | | | | | | | | | | | | |

ПРЕДЕЛЬНО ДОПУСТИМЫЕ ЗНАЧЕНИЯ ПАРАМЕТРОВ

| Обозначение и наименование параметра | | Ед. изм. | Значение | Условия измерения | |
|---|--------------------------------------|-------------------|------------|---|--|
| Параметры в проводящем состоянии | | | | | |
| I_{TAV} | Средний ток в открытом состоянии | А | 250 307 | $T_c = 94 °C$; $T_c = 85 °C$; 180 эл. град. синус; 50 Гц | |
| I_{TRMS} | Действующий ток в открытом состоянии | А | 393 | $T_c = 94 °C$; 180 эл. град. синус; 50 Гц | |
| I_{TSM} | Ударный ток в открытом состоянии | кА | 6.5 7.5 | $T_j = T_{jmax}$ $T_j = 25 °C$ 180 эл. град. синус; $t_p = 10$ мс; единичный импульс; $U_D = U_R = 0$ В; Импульс управления: $I_G = 2$ А; $t_{GP} = 50$ мкс; $di_G/dt \geq 1$ А/мкс | |
| | | | 7.0 8.0 | $T_j = T_{jmax}$ $T_j = 25 °C$ 180 эл. град. синус; $t_p = 8.3$ мс; единичный импульс; $U_D = U_R = 0$ В; Импульс управления: $I_G = 2$ А; $t_{GP} = 50$ мкс; $di_G/dt \geq 1$ А/мкс | |
| I^2t | Защитный фактор | $A^2c \cdot 10^3$ | 210 280 | $T_j = T_{jmax}$ $T_j = 25 °C$ 180 эл. град. синус; $t_p = 10$ мс; единичный импульс; $U_D = U_R = 0$ В; Импульс управления: $I_G = 2$ А; $t_{GP} = 50$ мкс; $di_G/dt \geq 1$ А/мкс | |
| | | | 200 260 | $T_j = T_{jmax}$ $T_j = 25 °C$ 180 эл. град. синус; $t_p = 8.3$ мс; единичный импульс; $U_D = U_R = 0$ В; Импульс управления: $I_G = 2$ А; $t_{GP} = 50$ мкс; $di_G/dt \geq 1$ А/мкс | |

| Блокирующие параметры | | | | |
|------------------------|---|------------------|--|--|
| U_{DRM}, U_{RRM} | Повторяющееся импульсное обратное напряжение и повторяющееся импульсное напряжение в закрытом состоянии | В | 100 - 1800 | $T_{j\min} < T_j < T_{j\max}$; 180 эл. град. синус; 50 Гц; управление разомкнуто |
| U_{DSM}, U_{RSM} | Неповторяющееся импульсное обратное напряжение и неповторяющееся импульсное напряжение в закрытом состоянии | В | 110 - 1900 | $T_{j\min} < T_j < T_{j\max}$; 180 эл. град. синус; единичный импульс; управление разомкнуто |
| U_D, U_R | Постоянное обратное и постоянное прямое напряжение | В | $0.6 \cdot U_{DRM}$ $0.6 \cdot U_{RRM}$ | $T_j = T_{j\max}$; управление разомкнуто |
| Параметры управления | | | | |
| I_{FGM} | Максимальный прямой ток управления | А | 6 | $T_j = T_{j\max}$ |
| U_{RGM} | Максимальное обратное напряжение управления | В | 5 | |
| P_G | Максимальная рассеиваемая мощность по управлению | Вт | 3 | $T_j = T_{j\max}$ для постоянного тока управления |
| Параметры переключения | | | | |
| $(di_T/dt)_{crit}$ | Критическая скорость нарастания тока в открытом состоянии ($f=1$ Hz) | А/мкс | 1000 | $T_j = T_{j\max}$; $U_D = 0.67 \cdot U_{DRM}$; $I_{TM} = 1700$ А; Импульс управления: $I_G = 2$ А; $t_{GP} = 50$ мкс; $di_G/dt \geq 2$ А/мкс |
| Тепловые параметры | | | | |
| T_{stg} | Температура хранения | °С | -60...50 | |
| T_j | Температура р-п перехода | °С | -60...125 | |
| Механические параметры | | | | |
| M | Крутящий момент затяжки | Нм | 25÷35 | |
| a | Ускорение | м/с ² | 100 | |

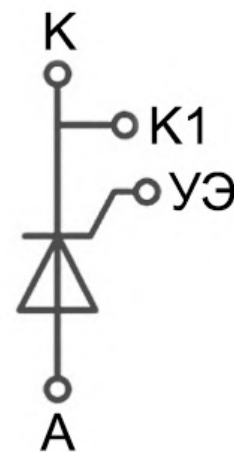
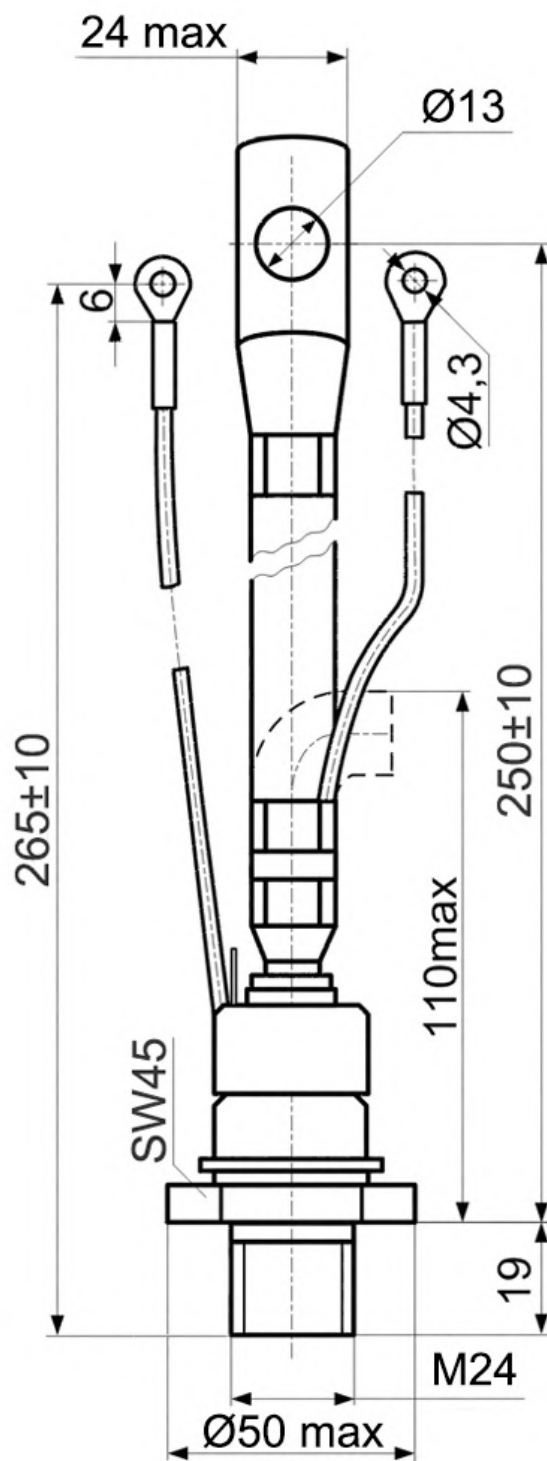
ХАРАКТЕРИСТИКИ

| Обозначение и наименование характеристики | | Ед. изм. | Значение | Условия измерения |
|---|---|----------|---------------------|--|
| Характеристики в проводящем состоянии | | | | |
| U_{TM} | Импульсное напряжение в открытом состоянии, макс | В | 1.55 | $T_j = 25$ °С; $I_{TM} = 785$ А |
| $U_{T(ТО)}$ | Пороговое напряжение, макс | В | 1.036 | $T_j = T_{j\max}$; $0.5 p I_{TAV} < I_T < 1.5 p I_{TAV}$ |
| r_T | Динамическое сопротивление в открытом состоянии, макс | МОм | 0.653 | |
| I_L | Ток включения, макс | мА | 700 | $T_j = 25$ °С; $U_D = 12$ В; Импульс управления: $I_G = 2$ А; $t_{GP} = 50$ мкс; $di_G/dt \geq 1$ А/мкс |
| I_H | Ток удержания, макс | мА | 300 | $T_j = 25$ °С; $U_D = 12$ В; управление разомкнуто |
| Блокирующие характеристики | | | | |
| I_{DRM}, I_{RRM} | Повторяющийся импульсный обратный ток и повторяющийся импульсный ток в закрытом состоянии, макс | мА | 70 | $T_j = T_{j\max}$; $U_D = U_{DRM}$; $U_R = U_{RRM}$ |
| $(du_D/dt)_{crit}$ | Критическая скорость нарастания напряжения в закрытом состоянии ¹⁾ , мин | В/мкс | 200, 320, 500, 1000 | $T_j = T_{j\max}$; $U_D = 0.67 \cdot U_{DRM}$; управление разомкнуто |

| Характеристики управления | | | | | |
|------------------------------------|--|---------------------|--|--|--|
| U_{GT} | Отпирающее постоянное напряжение управления, макс | В | 3.00 2.50 1.50 | $T_j = T_{j \min}$ $T_j = 25 \text{ }^\circ\text{C}$ $T_j = T_{j \max}$ | $U_D = 12 \text{ В}; I_D = 3 \text{ А};$ Постоянный ток управления |
| I_{GT} | Отпирающий постоянный ток управления, макс | мА | 400 250 150 | $T_j = T_{j \min}$ $T_j = 25 \text{ }^\circ\text{C}$ $T_j = T_{j \max}$ | |
| U_{GD} | Неотпирающее постоянное напряжение управления, мин | В | 0.60 | $T_j = T_{j \max};$ $U_D = 0.67 \cdot U_{DRM};$ | Постоянный ток управления |
| I_{GD} | Неотпирающий постоянный ток управления, мин | мА | 35.00 | | |
| Динамические характеристики | | | | | |
| t_{gd} | Время задержки включения, макс | мкс | 1.25 | $T_j = 25 \text{ }^\circ\text{C}; U_D = 1000 \text{ В}; I_{TM} = I_{TAV};$ $di/dt = 200 \text{ А/мкс};$ | Импульс управления: $I_G = 2 \text{ А}; U_G = 20 \text{ В};$ $t_{GP} = 50 \text{ мкс}; di_G/dt = 2 \text{ А/мкс}$ |
| t_{gt} | Время включения, макс | мкс | 4.00 | | |
| t_q | Время выключения ²⁾ , макс | мкс | 125, 160, 200, 250, 320, 400, 500 | $du_D/dt = 50 \text{ В/мкс}; T_j = T_{j \max}; I_{TM} = I_{TAV}; di_R/dt = -10 \text{ А/мкс}; U_R = 100 \text{ В};$ $U_D = 0.67 \cdot U_{DRM};$ | $T_j = T_{j \max}; I_{TM} = 250 \text{ А}; di_R/dt = -10 \text{ А/мкс}; U_R = 100 \text{ В}$ |
| Q_{rr} | Заряд обратного восстановления, макс | мкКл | 1100 | | |
| t_{rr} | Время обратного восстановления, макс | мкс | 20 | | |
| I_{rrm} | Ток обратного восстановления, макс | А | 110 | | |
| Тепловые характеристики | | | | | |
| R_{thjc} | Тепловое сопротивление р-п переход-корпус, макс | $^\circ\text{C/Вт}$ | 0.0850 | Постоянный ток | |
| Механические характеристики | | | | | |
| w | Масса, тип | г | 470 | | |
| D_s | Длина пути тока утечки по поверхности | мм (дюйм) | 12.40 (4.882) | | |
| D_a | Длина пути тока утечки по воздуху | мм (дюйм) | 12.40 (4.882) | | |

ГАБАРИТНЫЕ РАЗМЕРЫ

Тип корпуса: Т.СВ2



- К – катод;
- А – анод;
- К1 – вспомогательный катод;
- УЭ – управляющий электрод;

Все размеры в миллиметрах

| Тип Резьбы | W | H |
|--|--------------|----|
| Метрическая резьба Тип С | M24x1,5 – 8g | 19 |
| Метрическая резьба Тип В (по требованию) | M20x1,5 – 8g | 15 |

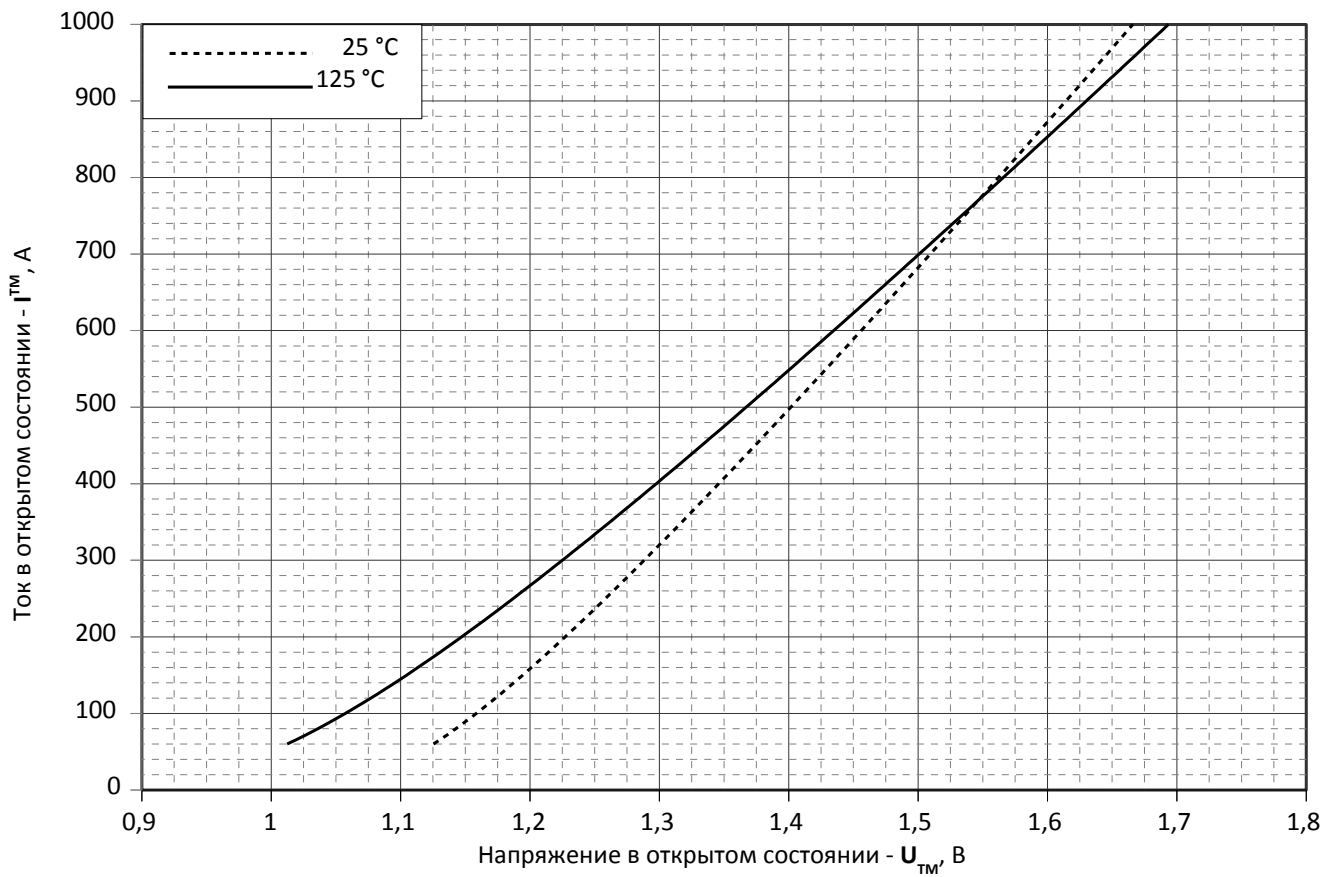


Рис. 1 – Предельная вольт – амперная характеристика

Аналитическая функция предельной вольт — амперной характеристики:

$$V_T = A + B \cdot i_T + C \cdot \ln(i_T + 1) + D \cdot \sqrt{i_T}$$

| | Коэффициенты для графика | |
|----------|--------------------------|-------------------------|
| | $T_j = 25^\circ\text{C}$ | $T_j = T_{j\text{max}}$ |
| A | 1.00310000 | 0.82568000 |
| B | 0.00045769 | 0.00054987 |
| C | 0.01841200 | 0.03130700 |
| D | 0.00246890 | 0.00321650 |

Модель предельной вольт – амперной характеристики (см. Рис. 1)

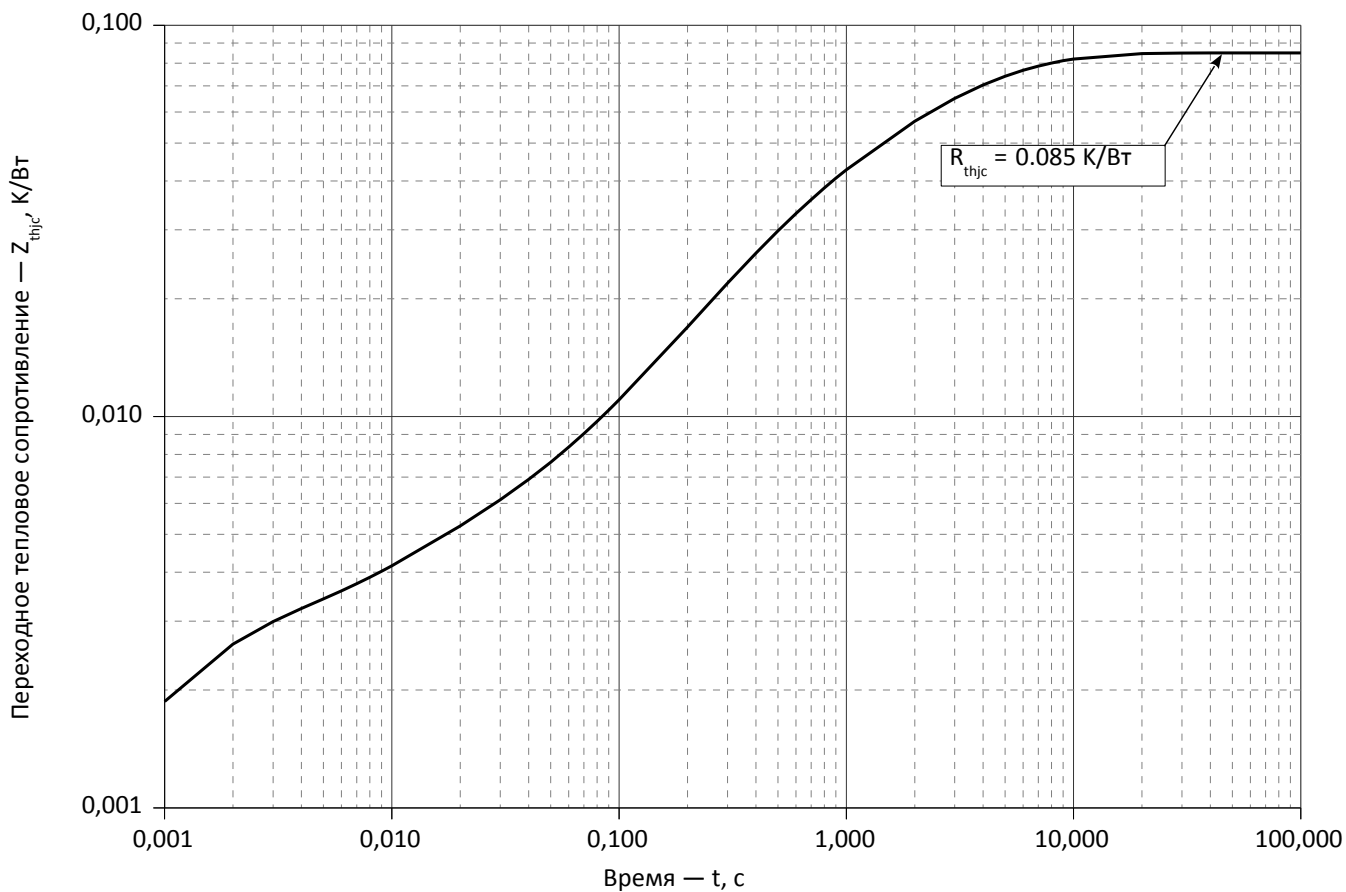


Рис. 2 – Зависимость переходного теплового сопротивления Z_{thjc} от времени t

Аналитическая зависимость переходного теплового сопротивления переход — корпус:

$$Z_{thjc} = \sum_{i=1}^n R_i \left(1 - e^{-\frac{t}{\tau_i}} \right)$$

Где $i = 1$ to n , n – число суммирующихся элементов.

t = продолжительность импульсного нагрева в секундах.

Z_{thjc} = Тепловое сопротивление за время t .

R_i, τ_i = расчетные коэффициенты, приведенные в таблице.

Постоянный ток

| i | 1 | 2 | 3 | 4 | 5 | 6 |
|--------------------|----------|---------|---------|----------|-----------|---------|
| $R_i, \text{K/W}$ | 0.023357 | 0.02733 | 0.01495 | 0.001445 | 0.002488 | 0.01543 |
| τ_i, c | 4.627 | 2.249 | 0.3406 | 0.01043 | 0.0009112 | 0.9081 |

Модель переходного теплового сопротивления переход - корпус (см. Рис. 2)

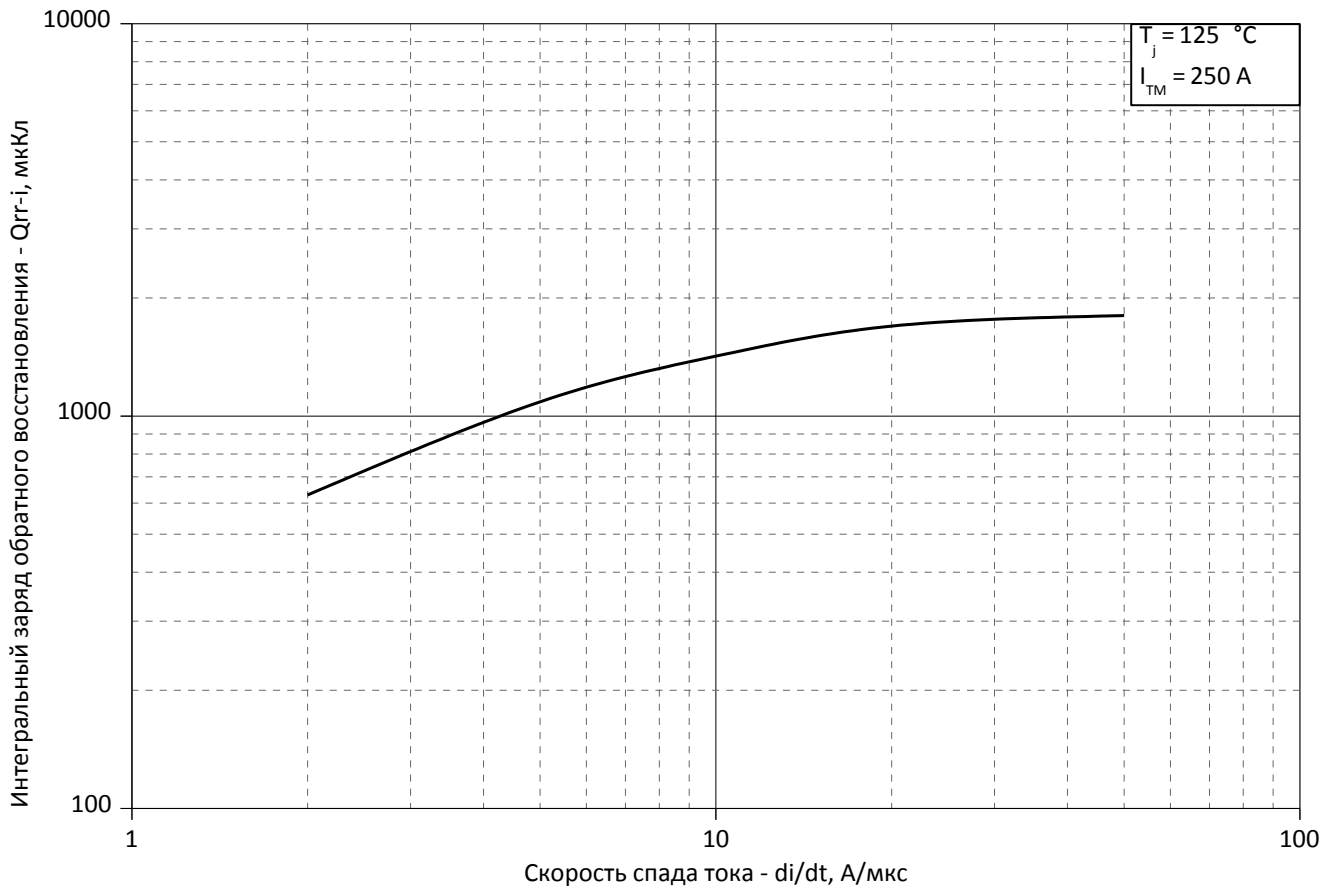


Рис. 3 – Зависимость максимального интегрального заряда обратного восстановления Q_{rr-i} от скорости спада тока di_r/dt в открытом состоянии

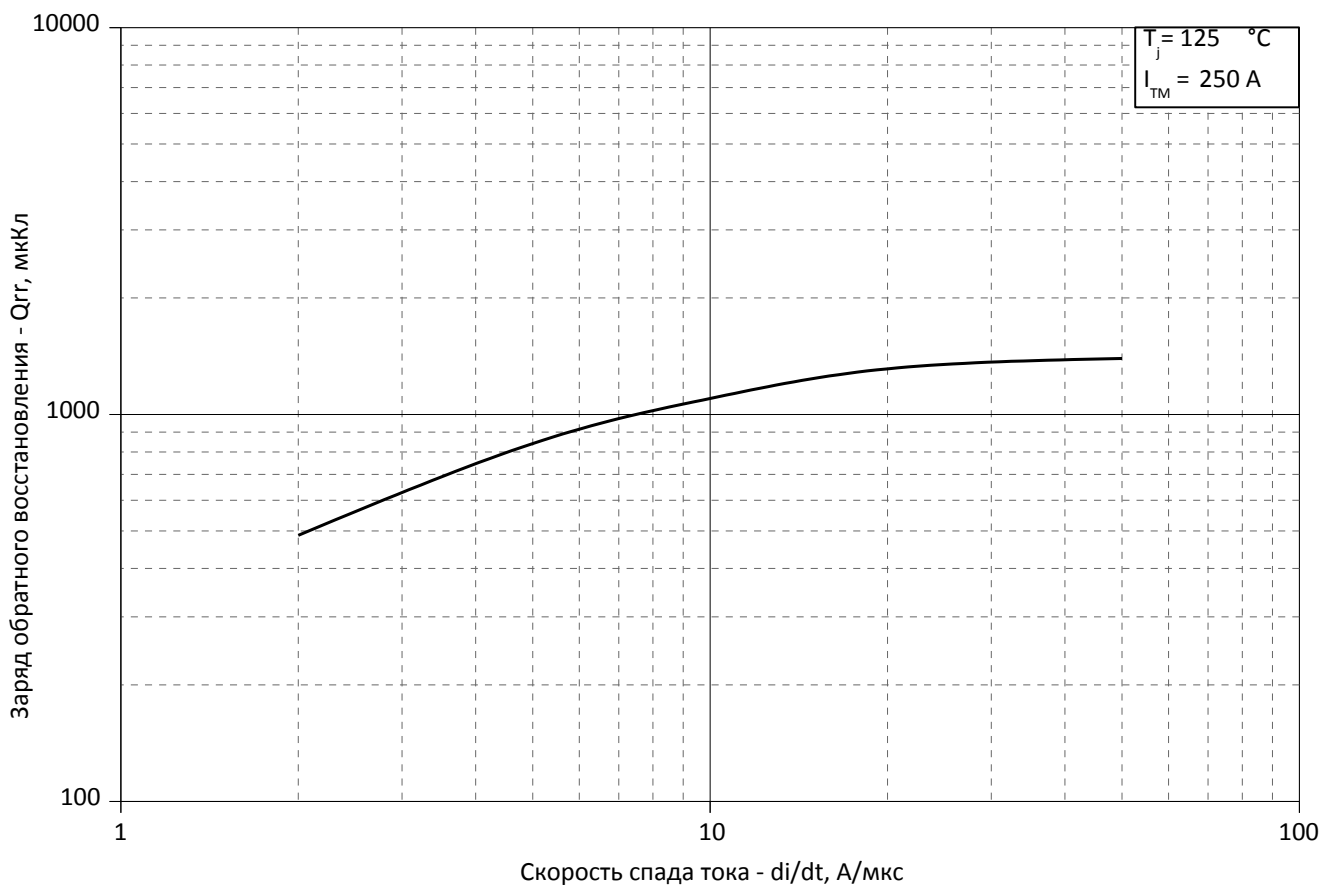


Рис. 4 – Зависимость максимального заряда обратного восстановления Q_{rr} от скорости спада тока di_r/dt (по ГОСТ 24461, хорда 25%) в открытом состоянии

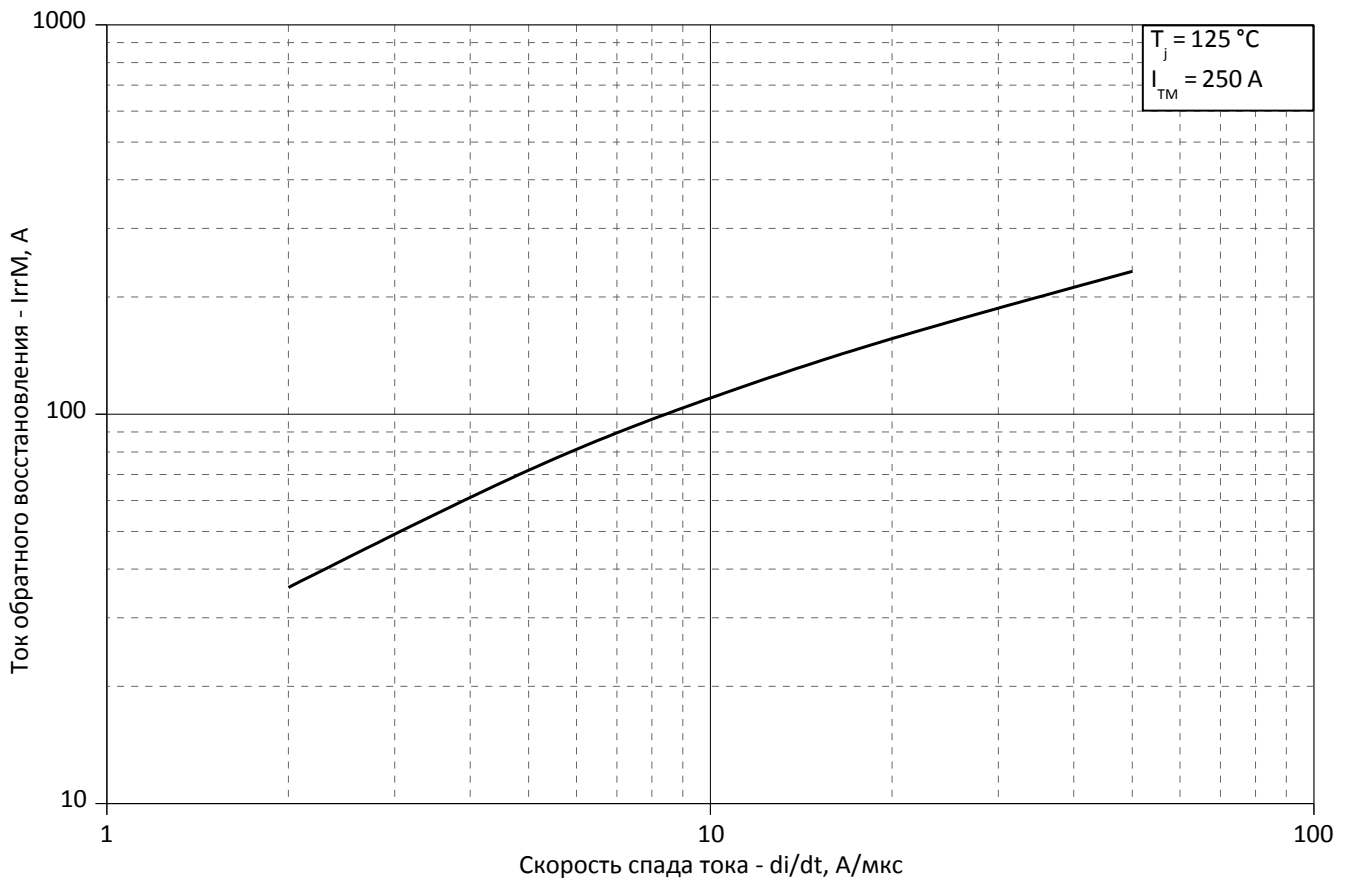


Рис. 5 – Зависимость максимального тока обратного восстановления I_{rrM} от скорости спада тока di_R/dt в открытом состоянии

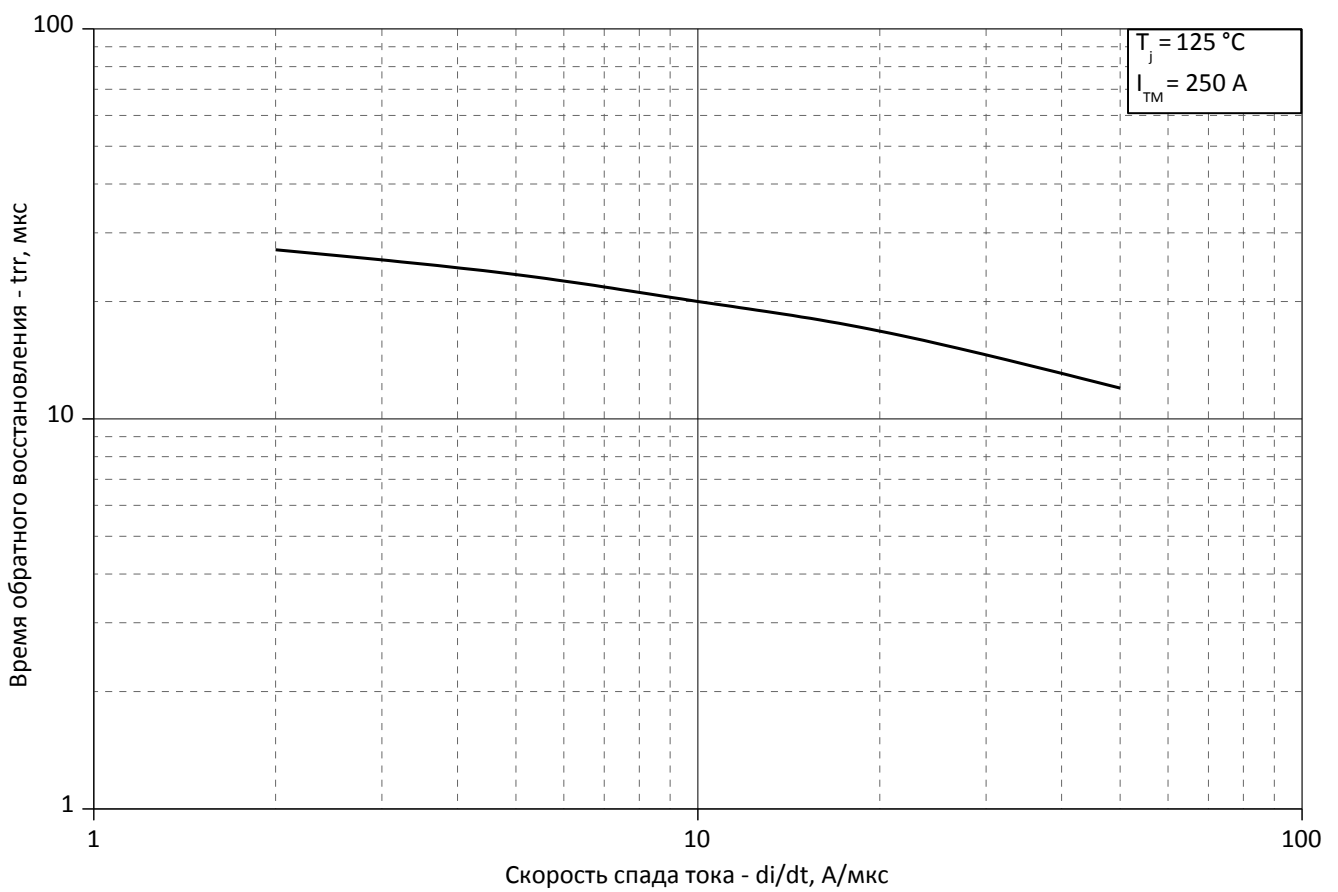


Рис. 6 - Зависимость максимального времени обратного восстановления t_{rr} от скорости спада тока di_R/dt (по ГОСТ 24461, хорда 25%) в открытом состоянии

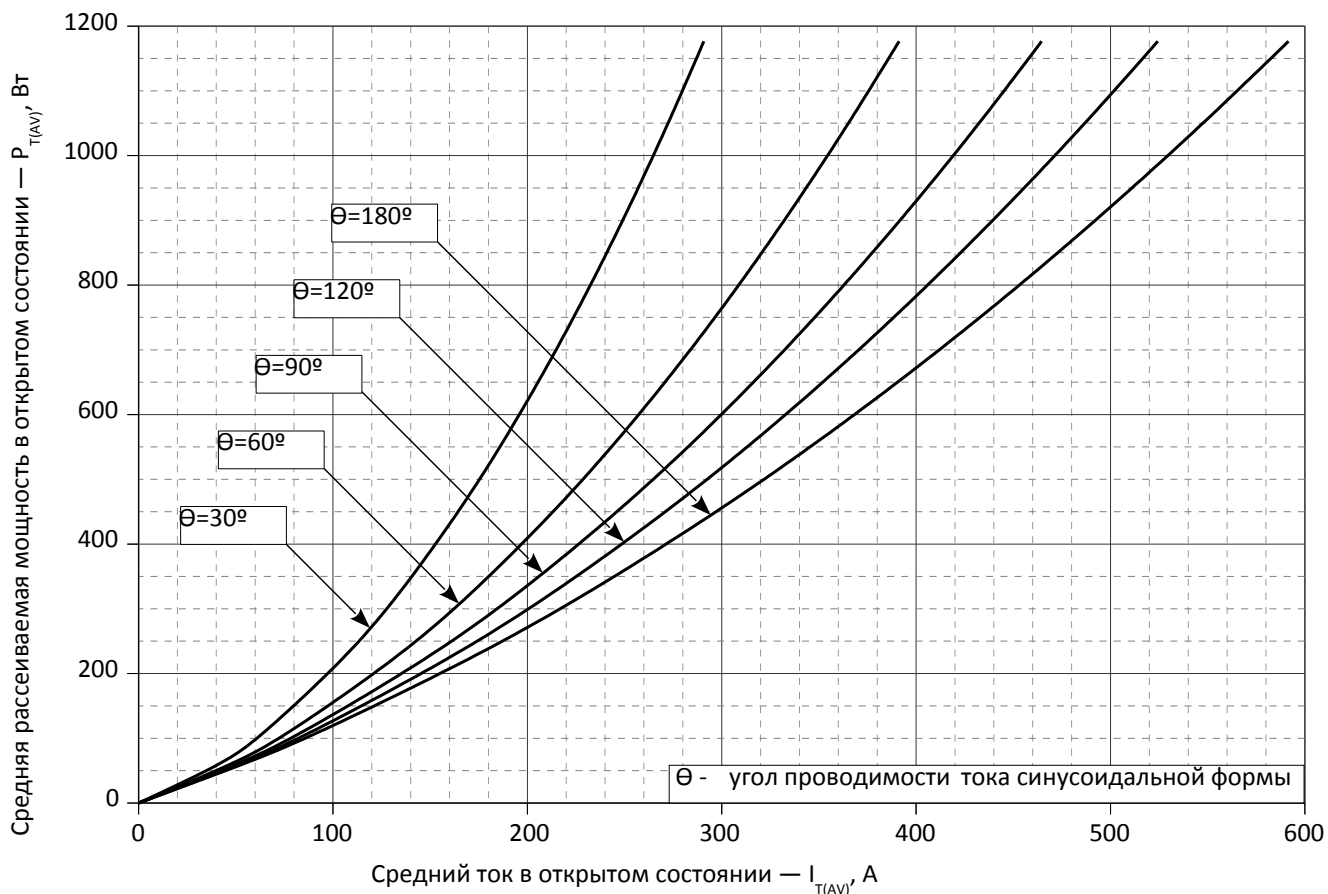


Рис. 7 - Зависимость потерь мощности P_{TAV} от среднего тока в открытом состоянии I_{TAV} синусоидальной формы при различных углах проводимости ($f=50$ Гц, двустороннее охлаждение)

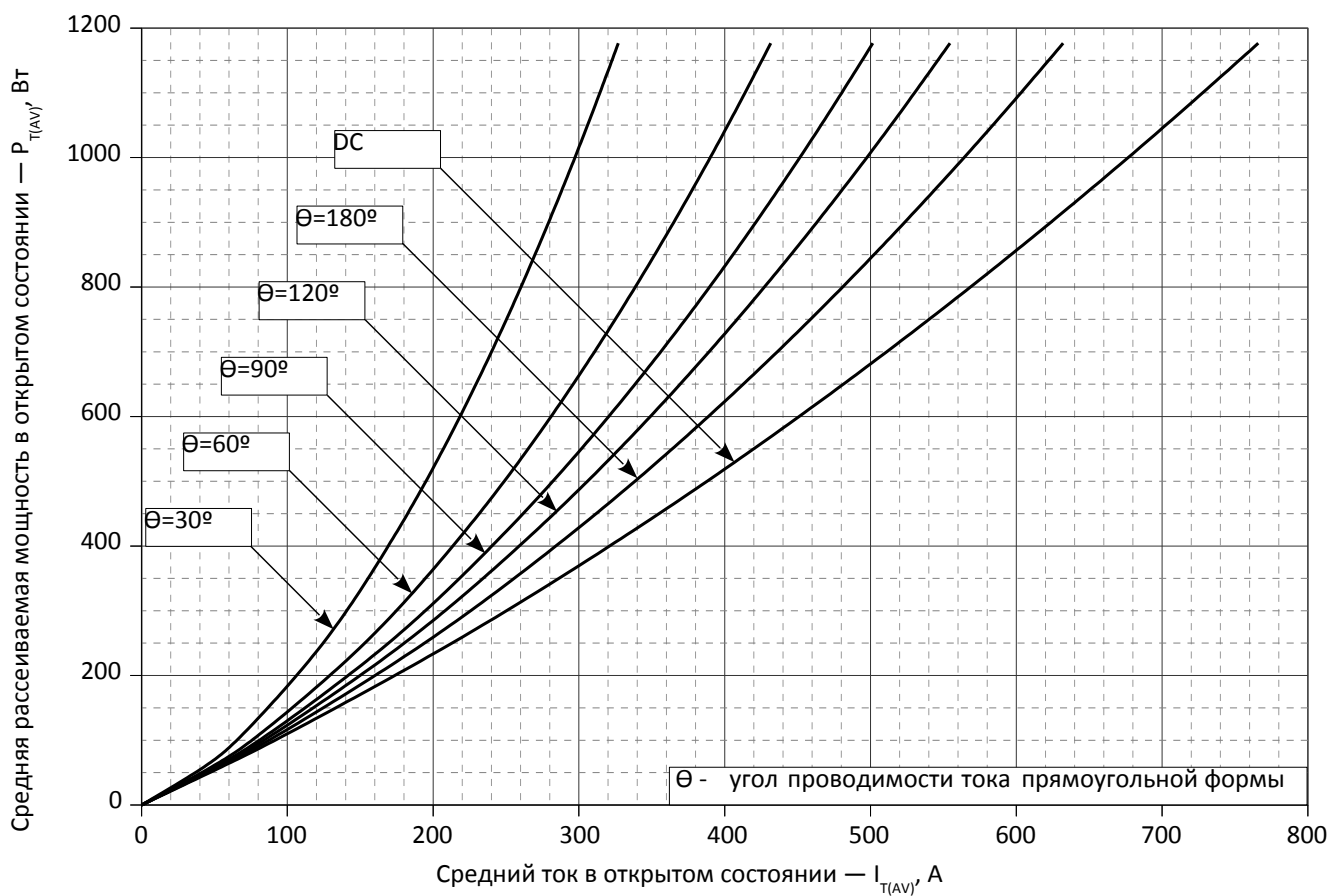


Рис. 8 - Зависимость потерь мощности P_{TAV} от среднего тока в открытом состоянии I_{TAV} прямоугольной формы при различных углах проводимости ($f=50$ Гц, двустороннее охлаждение)

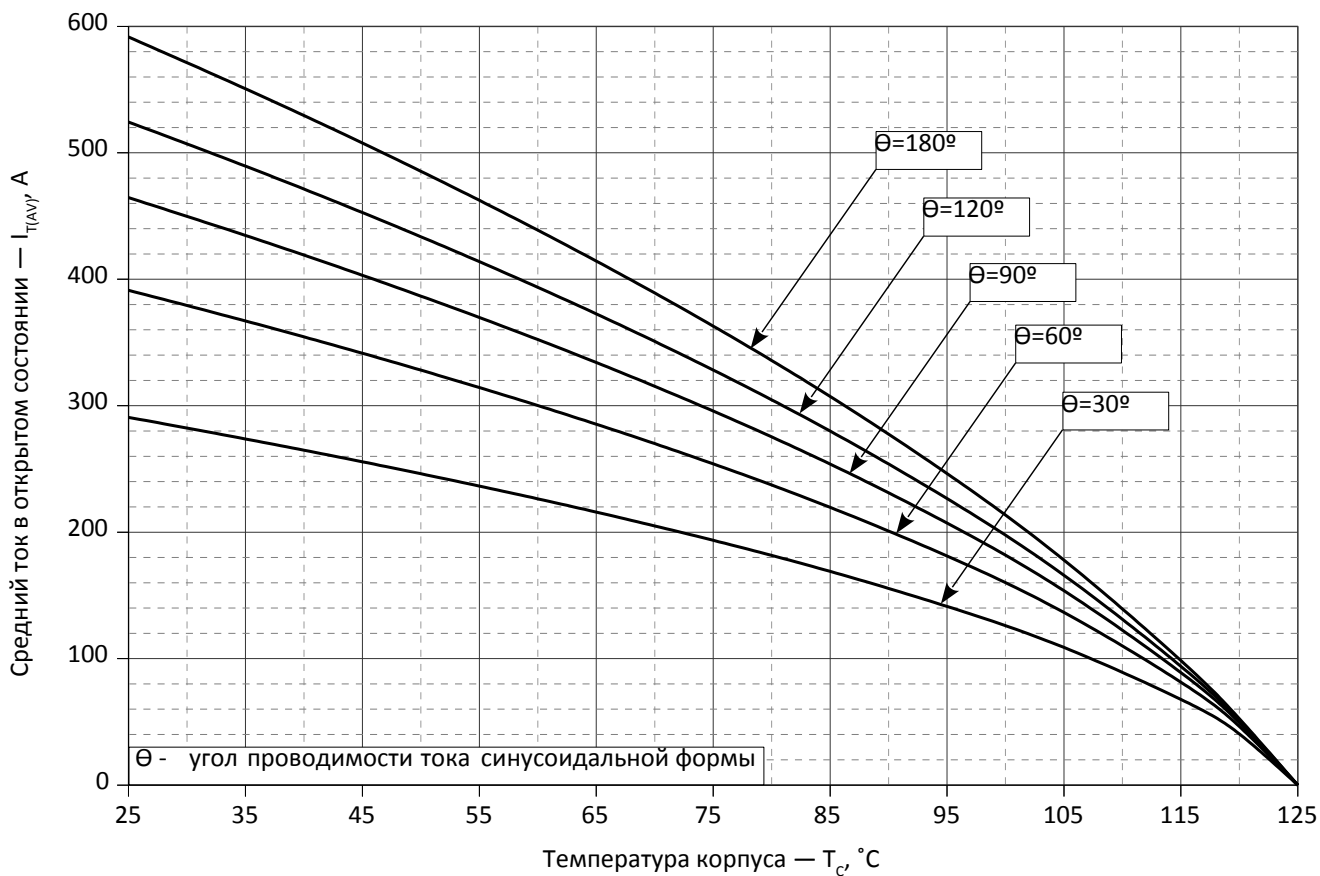


Рис. 9 – Зависимость среднего тока в открытом состоянии I_{TAV} от температуры корпуса T_C для синусоидальной формы тока при различных углах проводимости ($f=50$ Гц, Двустороннее охлаждение)

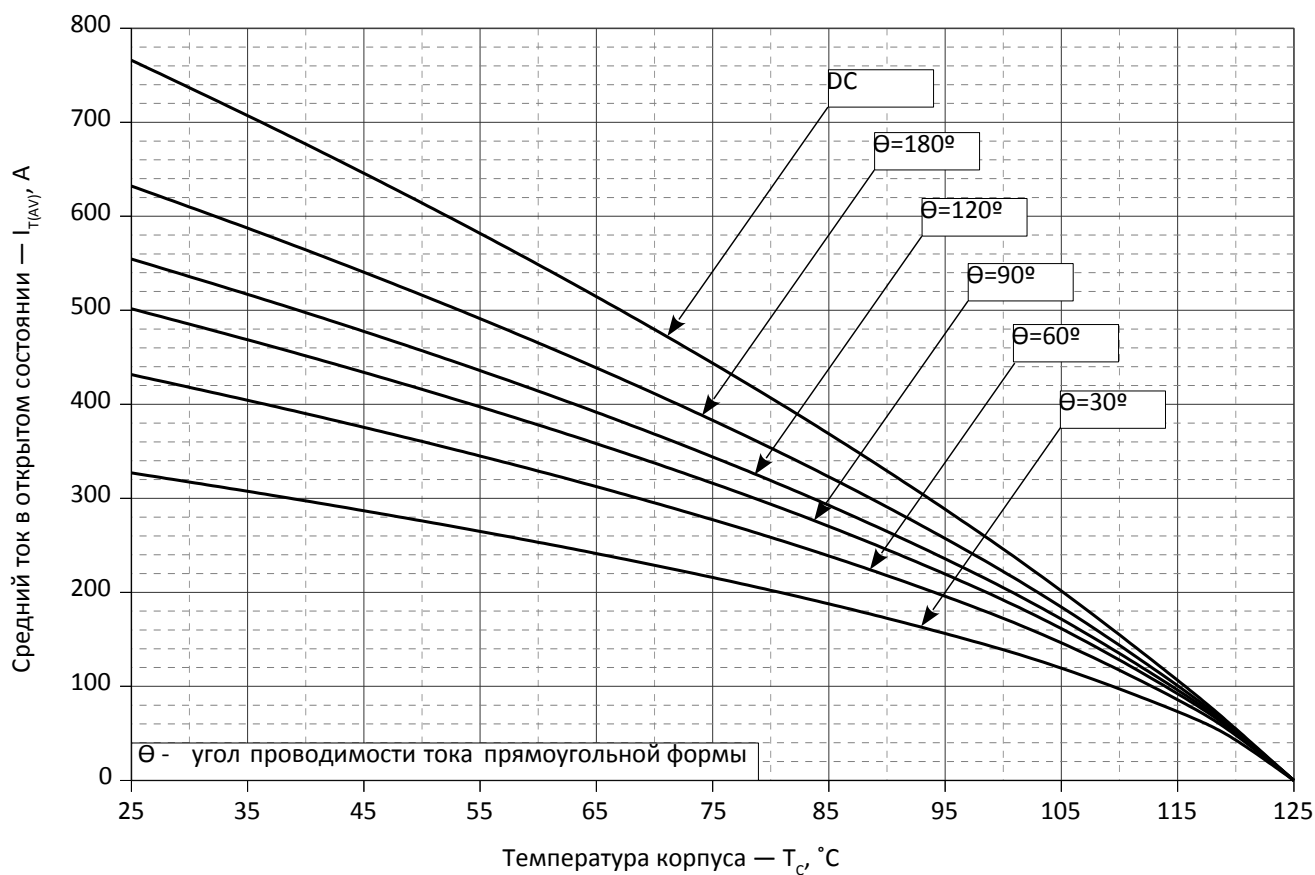


Рис. 10 - Зависимость среднего тока в открытом состоянии I_{TAV} от температуры корпуса T_C для прямоугольной формы тока при различных углах проводимости ($f=50$ Гц, Двустороннее охлаждение)

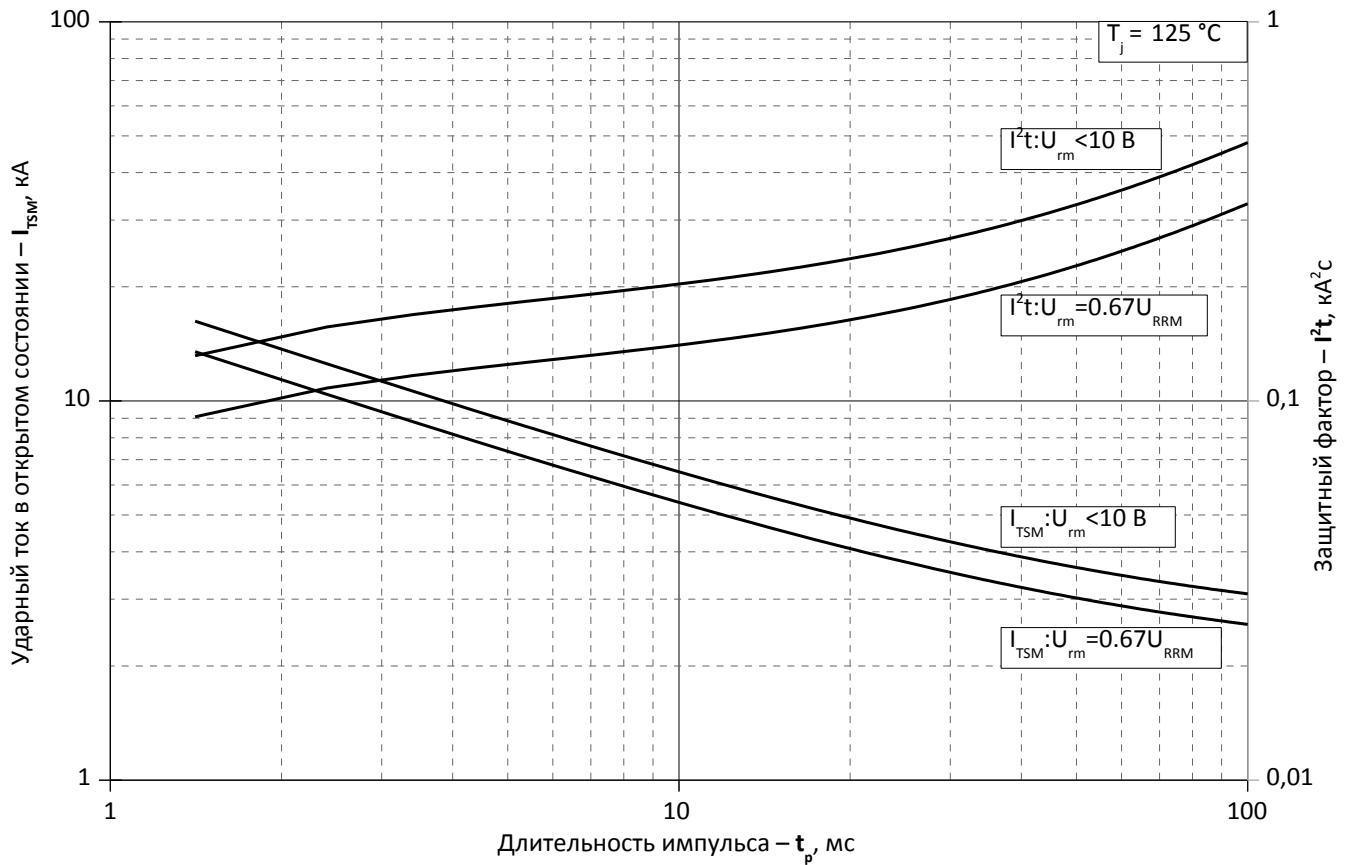


Рис. 11 – Зависимость максимальной амплитуды ударного тока в открытом состоянии I_{TSM} и защитного фактора I^2t от длительности импульса t_p

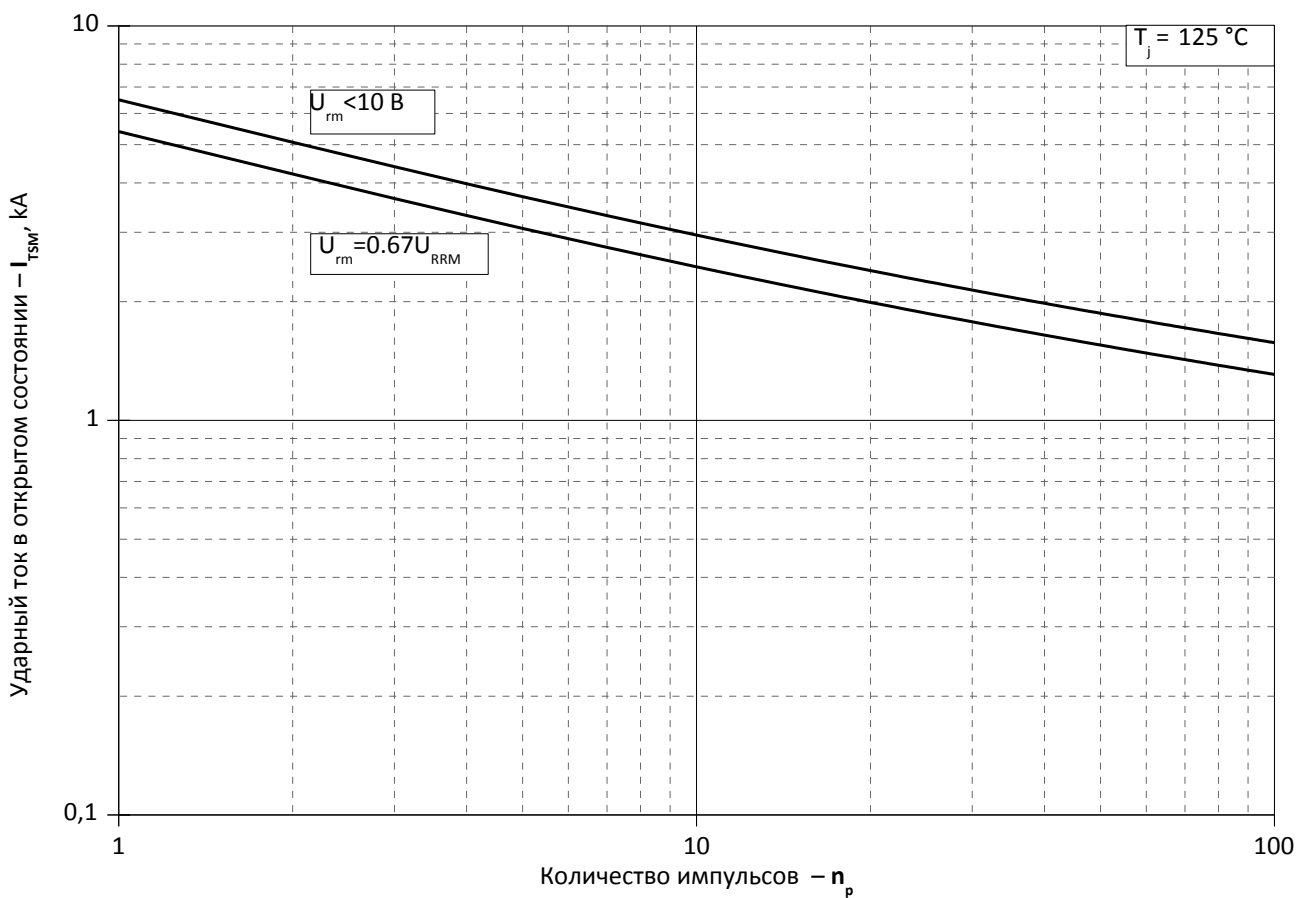


Рис. 12 – Зависимость максимальной амплитуды ударного тока в открытом состоянии I_{TSM} от количества импульсов n_p